По статье "The Geometry of Binary Search Trees" or Demaine, Harmon, Iacono, Kane, Pătrașcu (SODA, 2010).

### 1 Введение

Буквы n и m всегда обозначают размер BST и общее количество выполненных операций поиска соответственно.

#### 1.1 BST

В нашей модели вычислений за одно действие можно взять какое-то поддерево, которое затрагивает корень и произвольно его преобразовать (сохраняя свойство BST).

Определение 1 (Переконфигурация). Пусть дано бинарное дерево поиска (BST)  $T_1$ , поддерево  $\tau$  дерева  $T_1$ , содержащее корень, и дерево  $\tau'$  на тех же узлах, что и  $\tau$ . Скажем, что  $T_1$  может быть преобразовано с помощью операции  $\tau \to \tau'$  в другое BST  $T_2$ , если  $T_2$  идентично  $T_1$ , за исключением замены  $\tau$  на  $\tau'$ . Стоимость такой переконфигурации определяется как  $|\tau| = |\tau'|$ .

Определение 2 (Исполнение BST). Пусть задана поисковая последовательность  $S = \langle s_1, s_2, \dots, s_m \rangle$ . Скажем, что алгоритм BST выполняет S через исполнение  $E = \langle T_0, \tau_1 \to \tau'_1, \dots, \tau_m \to \tau'_m \rangle$ , если все переконфигурации допустимы и  $s_i \in \tau_i$  для всех i (т.е. поиск таки нашел запрашиваемый элемент  $s_i$ ).

Для  $i=1,2,\ldots,m$  определим  $T_i$  как  $T_{i-1}$  с переконфигурацией  $\tau_i\to\tau_i'$ . Стоимость выполнения E задается как  $\sum_{i=1}^m |\tau_i|$ .

Данная модель эквивалентна другим моделям BST с точностью до постоянного множителя. Например, другой способ моделирования дерева поиска заключается в представлении каждой операции поиска как начинающейся с указателя на корень, с использованием следующих элементарных операций с фиксированной стоимостью: перемещение указателя к левому потомку, перемещение указателя к правому потомку, перемещение указателя вверх, правый поворот в точке указателя, левый поворот в точке указателя. Эта эквивалентность сохраняется, поскольку любое BST может быть преобразовано в любое другое BST с теми же узлами за линейное время.

#### 1.2 Арбореально удовлетворенные множества

Переходя к геометрической интерпретации, точка p обозначает точку на плоскости с целочисленными координатами (p.x, p.y), удовлетворяющими условиям  $1 \le p.x \le n$  и  $1 \le p.y \le m$ . Обозначим за  $\Box ab$  оси-ориентированного прямоугольника с вершинами a и b (включая границы и внутренность).

**Определение 3.** Пара точек (a,b) (или индуцированный ими прямоугольник  $\Box ab$ ) является арбореально<sup>1</sup> удовлетворенной относительно множества точек P, если выполняется одно из следующих условий: (1) точки a и b ортогонально коллинеарны (горизонтально или вертикально выровнены); (2) в  $\Box ab$  содержится хотя бы одна точка из  $P \setminus \{a,b\}$ .

<sup>&</sup>lt;sup>1</sup>Термин происходит от латинского слова arbor, что означает «дерево». Он используется в различных контекстах для описания чего-то, связанного с деревьями или имеющего древовидную структуру.

**Определение 4.** Множество точек P называется *арбореально удовлетворенным*, если каждая пара точек в P является арбореально удовлетворенной относительно P.

**Утверждение 1.** В арбореально удовлетворенном множестве точек P для любых  $a, b \in P$ , которые не являются ортогонально коллинеарными, существует хотя бы одна точка из  $P \setminus \{a,b\}$  на сторонах  $\Box ab$ , иниидентных a, и хотя бы одна точка на сторонах, иниидентных b. (Эти две точки могут совпадать.)

Доказательство. Рассмотрим любые две точки  $a, b \in P$ , которые не являются ортогонально коллинеарными. Так как  $\Box ab$  является удовлетворенным, он содержит некоторую точку  $c \in P$ . Если c не находится на стороне  $\Box ab$ , инцидентной a, тогда мы можем рекурсивно перейти к  $\Box ac$ , пока не найдем такую точку. Аналогично, если c не находится на стороне  $\Box ab$ , инцидентной b, то мы можем рекурсивно перейти к  $\Box cb$ , пока не найдем такую точку.

Теперь мы визуализируем выполнение алгоритма BST интуитивным способом: на момент времени i (в строке i) мы отображаем все узлы, затронутые в  $\tau_i$ . Модель BST была выбрана так, чтобы игнорировать лишь несущественные детали (например, точные повороты и перемещения указателя), что упрощает геометрическую интерпретацию.

**Определение 5.** Геометрическое представление выполнения BST E задается как множество точек  $P(E) = \{(x,y) \mid x \in \tau_y\}.$ 

**Лемма 1.** Множество точек P(E) для любого выполнения BST является арбореально удовлетворенным.

Доказательство. Предположим противное, а именно, что существуют  $a \in \tau_i$  и  $b \in \tau_j$  при i < j и  $a \neq b$ , и при этом никакие другие узлы в отрезке [a,b] не были затронуты во временном интервале [i,j]. Обозначим через c наименьшего общего предка a и b в дереве  $T_i$ . Рассмотрим два случая:

- Если  $c \neq a$ , то c должно быть затронуто в момент времени i, чтобы добраться до a ( $c \in \tau_i$ ), и  $c \in (a,b]$  . Получаем противоречие.
- Если c=a, то в момент времени i узел a является предком b. По предположению, что  $\Box ab$  не удовлетворено, узел b не затрагивается в промежутке времени [i,j). Следовательно, a остается на пути к b, то есть a должен быть предком b в  $T_j$  и будет затронут, что противоречит условию  $(a \in \tau_j)$ .

# 2 Оффлайн-эквивалентность

Геометрическая интерпретация представляется как весьма упрощённое представление выполнения BST, так как она отражает только множество узлов в  $\tau_i$  и не указывает, каким образом эти узлы должны быть перестроены с помощью поворотов. Довольно неожиданно оказывается, что точная форма дерева не является существенной информацией и может быть восстановлена лишь на основе множеств затронутых узлов! Другими словами, можно реконструировать последовательность выполнения по любому геометрическому представлению, удовлетворяющему необходимому условию арбореальной удовлетворённости.

**Лемма 2.** Для любого арбореально удовлетворенного множества точек X существует выполнение BST E такое, что P(E) = X. Назовём E арбореальным представлением X и обозначим  $P^{-1}(X) = E$ .

Доказательство. Опишем алгоритм для обратного преобразования  $P^{-1}(\cdot)$ , смотреть Картинку 1. Определим время следующего доступа N(x,i) для x в момент времени i как минимальную координату y среди всех точек в X на луче от (x,i) до  $(x,\infty)$ . Если такой точки нет, положим  $N(x,i)=\infty$ .

Пусть  $T_i$  — это Декартово дерево, построенное на всех точках (x, N(x, i)). Напомним, что Декартово дерево представляет собой BST по первой координате и кучу по второй, где совпадающие значения разрешаются произвольно. Таким образом,  $T_i$  является корректным BST на n значениях, удовлетворяющим свойству кучи согласно времени следующего доступа (с минимумом в корне).

Пусть  $\tau_i$  — это точки в X с y=i. По свойству Декартового дерева  $T_i$ , множество  $\tau_i$  должно образовывать связное поддерево  $T_i$ , включающее корень (так как i является минимальным возможным временем доступа N(\*,i)). Далее, формируем  $T_{i+1}$ , переставляя узлы в  $\tau_i$  так, чтобы они образовали Декартово дерево, основанное на времени следующего доступа (x, N(x, i+1)).

Покажем, что  $T_{i+1}$  является Декартовым деревом на (x, N(x, i+1)). Свойство BST выполняется по построению, поэтому рассмотрим свойство кучи. Достаточно показать, что оно выполняется для каждой пары родитель/потомок (q,r) в  $T_{i+1}$ . Если оба узла находятся в  $\tau_i$ , то свойство кучи сохраняется по построению. Если оба узла находятся вне  $\tau_i$ , то их время следующего доступа и их отношение родитель/потомок не изменились при переходе от i к i+1, а значит, свойство кучи также выполняется. Остаётся случай, когда  $q \in \tau_i$ , а  $r \notin \tau_i$ . Однако если свойство кучи нарушается в  $T_{i+1}$ , то прямоугольник от (q,i) до (r,N(r,i)) противоречит Утверждению 1: вертикальная сторона при x=q пуста, поскольку N(q,i+1) > N(r,i) (в силу предположения о нарушении свойства кучи). Горизонтальная сторона при y=i также пуста, так как в противном случае найдется некий  $x \neq q$  на этой стороне и тогда r,q были бы в разных ветвях относительно x в дереве  $T_{i+1}$ , противоречие.

Пусть геометрическое представление последовательности доступа S определяется как множество точек  $P(S) = \{(s_1,1),(s_2,2),\ldots,(s_m,m)\}$ . Леммы 1 и 2 показывают, что арбореальное утверждение «E выполняет S» эквивалентно геометрическому утверждению « $P(S) \subseteq P(E)$ ». Обозначим через  $\min ASS(S)$  размер наименьшего арбореально удовлетворённого наднабора множества P(S). Тогда имеем  $OPT(S) = \min ASS(P(S))$ . Таким образом, вопрос того чтобы находить/аппроксимировать OPT(S) эквивалентен разработке алгоритмов для поиска минимального арбореально удовлетворённого над-набора.

### 3 Онлайн-эквивалентность

Выше мы установили комбинаторную эквивалентность между деревьями поиска и арбореально удовлетворёнными множествами, тем самым охарактеризовав офлайн-алгоритмы BST. Теперь мы стремимся усилить эту характеристику для *онлайн*-алгоритмов BST, которые должны выполнять преобразование  $\tau_i \to \tau_i'$  после каждого  $s_i$  без доступа к последующим запросам.

**Определение 6.** Задача *онлайн-арбореально удовлетворённого над-набора* (online ASS) заключается в разработке алгоритма, который получает множество точек  $\{(s_1,1),(s_2,2),\ldots,(s_m,m)\}$  поступательно.

После получения точки i алгоритм должен вывести множество  $P_i$  точек на линии y=i так, чтобы

$$\{(s_1,1),(s_2,2),\ldots,(s_i,i)\}\subseteq P_1\cup P_2\cup\cdots\cup P_i$$

было арбореально удовлетворённым. Стоимость алгоритма определяется как  $\sum_{i=1}^{n} |P_i|$ .

Онлайн-алгоритм BST естественным образом определяет онлайн-алгоритм ASS через стандартное геометрическое представление (Лемма 1). Обратное утверждение не столь очевидно, так как Лемма 2 требует знания будущих доступов: она реконструирует форму дерева, накладывая порядок кучи, основанный на будущих временах доступа. Однако, используя следующую концепцию, мы сможем «угадывать» форму дерева динамически, теряя лишь постоянный множитель во времени работы.

**Определение 7.** *Split-дерево* — это абстрактный тип данных, реализующий две операции в модели BST:

- MakeTree $(x_1, x_2, \ldots, x_n)$  создаёт BST из n узлов на основе заданных значений.
- Split(x) перемещает x в корень дерева, а затем удаляет его, оставляя левые и правые поддеревья корректными split-деревьями.

**Утверждение 2.** Split-деревья можно реализовать с худшим случаем стоимости O(n) для MakeTree и произвольной последовательности из n операций Split (т.е. амортизировано O(1)).

Доказательство. Опущен.

**Лемма 3.** Для любого онлайн-алгоритма ASS A существует онлайн-алгоритм BST A', такой что для любой последовательности доступа стоимость A' ограничена сверху константным множителем от стоимости A.

Доказательство. Основная идея заключается в том, что когда нам нужно сохранить множество элементов в некотором неизвестном будущем порядке, мы избегаем принятия решений и храним их в split-дереве. Получаемая конструкция может рассматриваться как инверсия доказательства Леммы 1, поскольку split-деревья хранятся в порядке кучи по времени предыдущего доступа (вместо времени следующего доступа).

Формально, пусть  $\rho(x,i)$  — это время последнего доступа к x перед i, то есть y-координата наивысшей точки на луче от (x,i) до  $(x,-\infty)$ . Если такой точки нет, полагаем  $\rho(x,i)=-\infty$ . Обозначим через  $G_i$  общее Декартово дерево, определённое на всех точках  $(x,\rho(x,i))$ , то есть BST по координатам x и общий heap по  $\rho(x,i)$  (в этот раз на максимум). В общем heap'e совпадающие ключи объединяются в суперузел с несколькими значениями. Т.е. каждая вершина Декартового дерева это множество элементов с одинаковым  $\rho(x,i)$  ключи которых хранятся в split-дереве.

Рассмотрим, как эта структура изменяется при переходе от момента времени i к i+1. Все точки на строке y=i+1 будут иметь  $\rho(x,i+1)=i+1$  и будут перемещены из  $G_i$  в корень  $G_{i+1}$ .

Ключевое свойство, вытекающее из арбореальной удовлетворённости (и которым мы уже пользовались в Лемме 1) это то, что вершины с  $\rho(x,i+1)=i+1$  будут образовывать связный подграф включающий корень в  $G_{i+1}$ . Действительно, пусть есть такая тройка вершин a < b < c, что  $\rho(a,i+1)=\rho(c,i+1)=i+1$  и  $\rho(b,i+1)< i+1$  и при этом b лежит между a,c. Значит, c находится внутри

Это означает, что мы можем переместить все соответствующие значения в корень одним обходом дерева от корня к листьям. На каждом суперузле мы вызываем Split для выделения запрашиваемых узлов, формируя новый скелетный узел и два дочерних суперузла. Затем все собранные скелетные узлы объединяются в корневой суперузел с помощью MakeTree.

Поскольку каждая операция Split имеет амортизированную константную стоимость, а MakeTree выполняется за линейное время, общая стоимость моделирования доступа на строке y=i пропорциональна числу точек на этой строке.

## 4 Greedy Future

Данный кусок не был затронут на лекции.

Алгоритм 1 (GREEDYFUTURE (GF) Algorithm). Input: Последовательность запросов  $X \in [n]^m$  и начальное BST  $T_0$ . Мы перестраиваем  $T_{t-1}$  в  $T_t$  после обработки запроса  $x_t$  с  $T_{t-1}$  для  $t = 1, \ldots, m$ .

**Function** Restructure( $sanpoc \ v, depeso \ T_{t-1}, by dywue <math>sanpocu \ X'$ ):

- 1: Пусть  $v_1 < v_2 < \cdots < v_k$  узлы на пути от корня  $T_{t-1}$  до запрашиваемого значения v (включая v и корень).
- 2: Определим  $v_0 = -\infty$  и  $v_{k+1} = +\infty$ .
- 3: Обозначим поддеревья, отходящие от этого пути, как  $R_0, \dots, R_k$ .
- 4: Положим  $\tau(v_i)$  индекс первого появления запроса значения  $x \in (v_{i-1}, v_{i+1})$  в X' для каждого  $i \in [k]$ .
- 5: Переструктурируем узлы  $v_1, \ldots, v_k$  в Декартово дерево:
  - Дерево поддерживает порядок BST.
  - Приоритеты в heap'e определяются значениями  $\tau$ , где корень имеет наименьшее  $\tau$ .
  - При равных значениях предпочтение отдаётся, например, меньшим ключам или узлам с меньшей глубиной до реструктуризации.
- 6: Подвесим поддеревья  $R_0, \dots, R_k$  на их соответствующие позиции.
- 7: Возвращаем полученное дерево  $T_t$ .

Данный жадный алгоритм предполагался как такой, что работает лучше любого онлайн алгоритма. Оказывается, что его можно сделать онлайн с потерей в константный множитель.

**Алгоритм 2.** Проводим сканирующую горизонтальную линию по множеству точек в порядке увеличения координаты y. В момент времени i, GREEDYASS добавляет минимальное количество точек на y=i, чтобы множество точек вплоть до  $y \leq i$  стало арбореально удовлетворённым.

Этот минимальный набор точек определяется однозначно: для любого неудовлетворённого прямоугольника, содержащего  $(s_i,i)$  в одном из углов, добавляется противоположный угол при y=i.

**Теорема 4.** При применении Леммы 2 к Алгоритму 2 получается Алгоритм 1.

Доказательство. Доказательство по индукции, на очередном шаге  $(s_i, i)$  достаточно показать, что Алгоритм 2 достроит ровно те точки, которые в дереве Алгоритма 1 будут на пути от корня до  $s_i$ . Далее, по Лемме 2 на этом пути построится Декартово дерево, также как и в обычном GF.

Рассмотрим вершину v на пути от корня до  $s_i$  в дереве  $T_{i-1}$  и пусть j — момент когда последний раз к ней был доступ. Пусть  $\Box(s_i,i)(v,j)$  арбореально удовлетворённый, тогда найдется некая точка (c,k) на границе этого прямоугольника. Тогда k=j, ведь иначе бы мы взяли точку v повыше. Но тогда c лежит строго между  $s_i,v$ . А следовательно, путь прошел бы по нему. В обратную сторону, аналогично.

Заметим, что Алгоритм 2 не смотрит в будущее. Этот онлинифицированный вариант «максимально оффлайнного» алгоритма, по-видимому, указывает на то, что оффлайн-алгоритмы не могут асимптотически превосходить лучшие онлайн-алгоритмы в модели ВST, то есть динамическая оптимальность возможна.

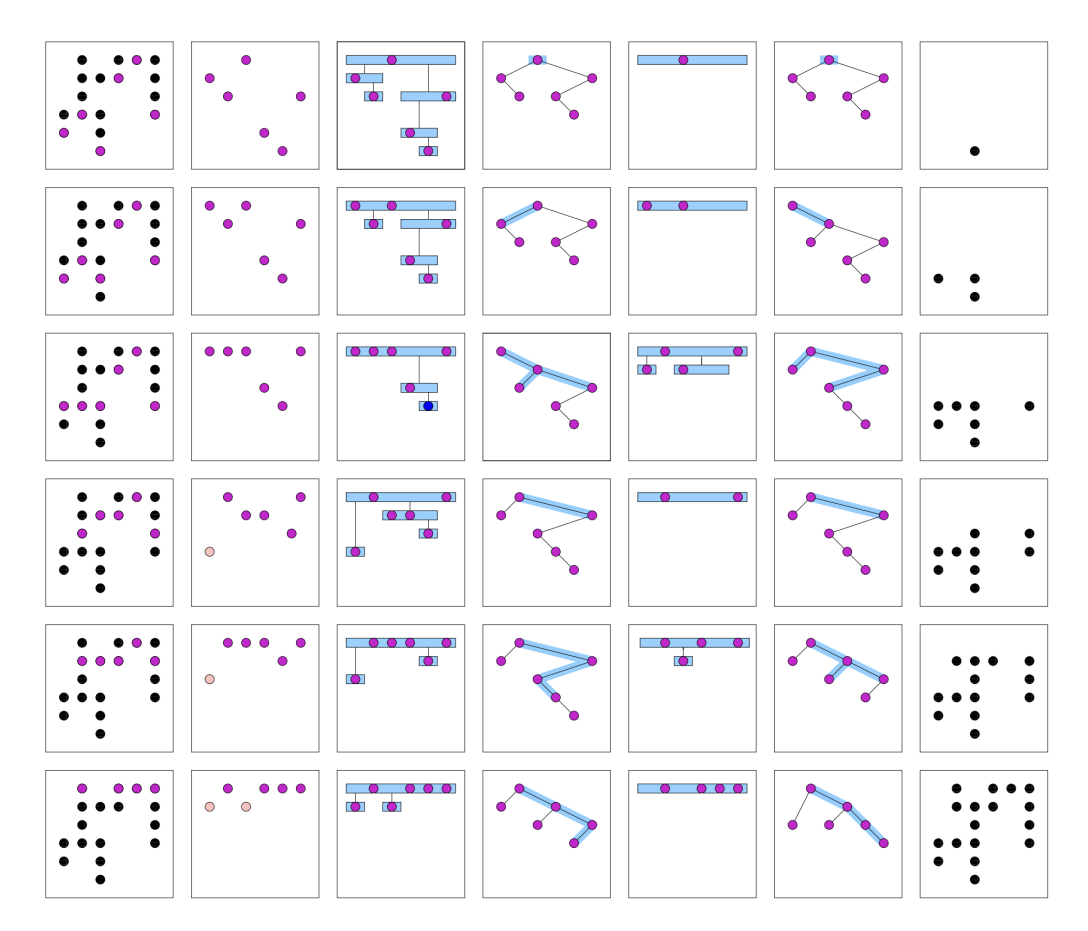


Рис. 1: Иллюстрация преобразований между деревом и геометрическим представлением. Колонки слева направо: (1) Множество точек X; в строке i светлые узлы представляют появления, определяющие N(x,i). (2) Светлые узлы из колонки 1 перерисованы и отражены по вертикали для упрощённого преобразования в дерево; ещё более светлые узлы, для которых  $N(x,i) = \infty$ , располагаются внизу. (3) Общее Декартово дерево. (4) Дерево  $T_{i-1}$ . (5) Декартово Дерево, сформированное по времени следующего доступа узлов  $\tau_i$  в момент i+1 (произвольная бинаризацию). (6) Дерево  $T_i$ . (7) затенённые узлы  $\tau$  из колонок 4 или 6, восстанавливая исходное множество точек из колонки 1.